

## 铸造時の铸型空洞の圧力挙動

—一室加压型铸造機の場合—

大川成剛 渡辺孝一 金谷貢  
中野周二 宮川修

## Pressure Behavior in the Cavity on Casting —An Enclosed One-chamber Casting Unit—

Seigo OKAWA, Kouichi WATANABE, Mitsugu KANATANI,  
Syuji NAKANO and Osamu MIYAKAWA

**Keyword :** Casting, Titanium, Casting mold, Permeability

This study evaluated the pressure behavior of both the casting chamber and the cavity in the mold using an enclosed one-chamber casting unit. An experimental device with a pressure sensor modeled on the casting system was attached to the casting unit. The chamber pressure rose rapidly and reached half of the preset casting pressure within 0.2 s after introducing argon gas into the chamber. Both the preset casting pressure and the gas permeability in the mold strongly influenced the differential pressure between the chamber and the cavity. When a mold with a high level of rising pressure in the cavity, i.e. a mold with higher gas permeability, was used, a large quantity of argon gas penetrated the cavity through the mold wall before the cavity was filled by the molten metal. For this reason, it was thought that some casting defects, such as incomplete casting or gas inclusion, often occur. This study showed that it is desirable to use a mold with lower gas permeability in an enclosed one-chamber casting unit.

**キーワード：**铸造, チタン, 铸型, 通気性

一室加压型のチタン铸造機を用いて、铸造時の铸造室内と铸型空洞の圧力挙動を検討した。铸型と铸型空洞との関係を模した装置を铸造室の扉に取り付け、铸造室内の圧力挙動と铸型を通して铸型空洞に侵入するガスの圧力挙動を圧力センサーにより測定した。その結果、铸造室内の圧力上昇は、圧力の立ち上がりから約 0.2 s で設定铸造圧の約半分まで急速に上昇した。铸型空洞の圧力上昇および铸造室と铸型空洞との圧力差は、設定铸造圧はもちろん、埋没材の通気度に大きく左右された。また、圧力上昇が速い铸型の場合、チタン溶湯が铸型空洞を満たす前に、多量のアルゴンガスが铸型空洞に侵入する。このため、铸込み不良や、ガスの巻き込みによる内部欠陥が生じやすい。したがって、一室加压型铸造では、通気度の小さい埋没材を使用することが望ましい。

## 緒 言

現在、市販されているチタン铸造システムは、その铸造方法によって、遠心型、二室加压吸引型、一室加压型および遠心加压吸引型に分類される<sup>1)</sup>。これらの铸造システムでは铸造方法によって、溶湯の流れ方や铸造欠陥が発生する場所および頻度なども変わることが明らかとなっている<sup>2~4)</sup>。それゆえ、铸造性や铸造体の機械的性質および臨床的に良好な铸造体の品質は、铸造システムに大きく影響される。

一般に、歯科におけるチタン铸造は、铸造方法や使用する埋没材などがメーカーから提供され、マニュアルにしたがって製作するシステムが採用されている。しかし、それぞれの铸造システムにおいて、品質の優れた铸造体が常に製作できるまでには至っておらず、いまだに試行錯誤している場合が多い。例えば、埋没材の選択が挙げられる。システムで提供される埋没材の中には、埋没材中の成分とチタン溶湯が反応し、铸造体表層に反応層が生成するものもある<sup>5)</sup>。この反応層は铸造体の機械的性質に大きく影響するので好ましくないと言われている<sup>6)</sup>。そこで、他のチタン铸造システムで使用される埋没材を使用することも多い。この場合、それぞれの铸造システムと埋没材の特性の間の適合性が問題となる。特に、一室加压型では、铸造の通気度が铸造性に影響を与えることが指摘されている<sup>7,8)</sup>。

一般に通気度は、一定の試料を通して一定の圧力の空気が流れる速度で表した値である<sup>9)</sup>。都賀谷ら<sup>10)</sup>は空気の代わりにアルゴンを用いて埋没材の通気度を測定した。それによると、チタン铸造システムに採用されている埋没材の通気度は、 $0.05\sim5.5\text{ cm}^2/\text{cmH}_2\text{O}\cdot\text{min}$ と広範囲にわたり、埋没材の通気度とそれぞれの铸造方法には相関が見いだせなかったとしている。しかし、上で述べたように、通気度は加压型铸造システムにおいて、铸造性や铸造欠陥に大きな影響を与える。それゆえ、铸造時の铸型空洞の圧力挙動を知ることは、適切な加压のタイミングやチタン铸造システムに適した埋没材の選択および铸造体の品質評価などの検討に有益である。

そこで、本研究では、一室加压型铸造機の铸造室の扉に、铸型と铸型空洞との関係を模した装置をセットし、铸造時の铸造室内の圧力上昇と、铸型を通して侵入してくるアルゴンガスによる铸型空洞の圧力上昇を測定し、埋没材の通気度と圧力上昇との関係を検討した。さらに、铸造室内と铸型空洞の圧力差の変化を埋没材の通気度と関連づけて考察し、チタン铸造体の外部および内部欠陥の防止策を検討した。

## 材料および方法

## 1. 圧力の測定

Fig. 1 に示すように、一室加压型铸造機（オートキャスト HC-III, ジーシー）の铸造室扉の下縁より約 50 mm 上に直径 10 mm の穴を開け、铸型と铸型空洞との関係を模した圧力測定装置を取り付けた。この装置内に、外径 20 mm、内径 14 mm、厚さ 2.6 mm のシリコーン製 O リングを用いて、次節で説明する試料を固定した。この試料が铸型に、铸造機側が铸造室に、その反対側が铸型空洞にそれぞれ相当する。この铸型空洞の圧力変化を圧力センサー（Type KH 17, 長野計器）により測定した。なお、铸型空洞の容積は  $6.51\text{ cm}^3$  であった。

また、铸造機のキャストボタンを押した時から圧力の計測を可能とするために、キャストボタンにマイクロスイッチ（AM 96909, 松下）を取り付け、キャストボタンが押されるとパルスが出力されるようにした。このパルスと圧力センサーの信号をデジタルオシロスコープ（VP-5730 A 50, ナショナル）のメモリーに記録しておき、あとで X-Y レコーダー（WX 4401, 渡辺測器）を用いてチャートに描かせた。

測定の際には、铸造圧に相当するアルゴンガスの圧力（以下、設定铸造圧と呼ぶ）を、メーカー推奨である  $7\text{ kgf/cm}^2$  と、その約半分の  $3\text{ kgf/cm}^2$  に設定した。

## 2. 試料の作製

一室加压型のチタン铸造システムに提供されているチタン铸造用埋没材 T-インベスト（ジーシー）と T-インベスト C & B（ジーシー）を、また他のチタン铸造システムに用いられるセレベスト CB（セレック）およびチタベスト CB（モリタ）を実験に供した。これらの埋没材を選択したのは、都賀谷ら<sup>10)</sup>の報

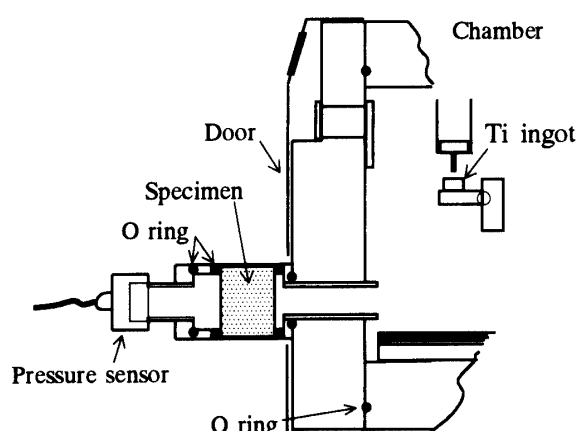


Fig. 1 Illustration of the equipment for pressure measurement with an enclosed one-chamber casting unit

告をもとに、通気度が小さいものから大きいものまで、広範囲にカバーするためである。

各メーカー指定の条件で真空練和した埋没材泥をガラス板上に置いた内径 18 mm、高さ 10 mm の塩化ビニール製のリングに注入し、上からガラス板を置いて硬化体を作製した。つぎに、硬化体を各メーカーのマニュアルに従って指定温度まで加熱後、室温まで炉冷した。これを試料とした。

なお、試料の側面にシーリングテープを巻き、側面からのガスの漏れを防いだ。

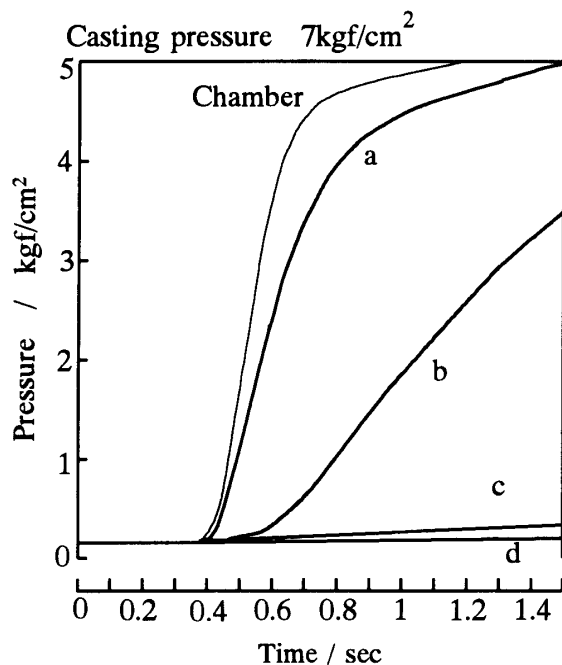
## 結 果

### 1. 鋳造室と鋳型空洞の圧力変化

#### 1) 設定鋳造圧 7 kgf/cm<sup>2</sup> の場合

Fig. 2 に、設定鋳造圧 7 kgf/cm<sup>2</sup> の場合の、鋳造室と鋳型空洞の圧力変化の一部分を示す。

試料を圧力測定装置にセットしないで測定した圧力上昇、つまり鋳造室の圧力上昇は、キャストボタンを押してから約 0.4 s 後に始まり、約 0.6 s で 3~4 kgf/cm<sup>2</sup> に到達した。この間の圧力上昇速度は約 18 kgf/cm<sup>2</sup>/s であった。圧力 4~4.5 kgf/cm<sup>2</sup> で圧力の上昇は急激に緩くなり、その後は設定鋳造圧に向かって



**Fig. 2** Pressure change in the chamber and the cavity at a preset casting pressure of 7 kgf/cm<sup>2</sup>

The thin line shows the pressure change in the chamber, while the thick lines show pressure changes in the cavities. a : T-INVEST, b : Titavest CB, c : Selevest CB, d : T-INVEST C & B.

徐々に上昇した。11~12 s 後に設定鋳造圧に到達した。

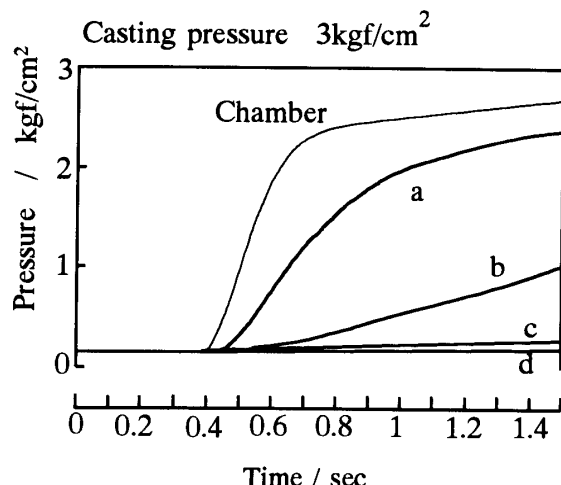
T-INVESTの場合、鋳型空洞の圧力上昇は鋳造室のそれに似て急速に上昇し、圧力上昇速度は約 13 kgf/cm<sup>2</sup>/s であった。これは鋳造室の圧力上昇速度の約 72% に相当し、試験した埋没材の中で最も大きかった。

ところが、セレベスト CB と T-INVEST C & B では、圧力の立ち上がりから 1 s 後でも鋳型空洞の圧力は 0.2~0.3 kgf/cm<sup>2</sup> であり、圧力上昇速度は T-INVEST の約 2% もしくはそれ以下と、非常に小さかった。

一方、チタベスト CB は、初期の圧力の立ち上がりは緩やかであったが、約 0.6 s から急上昇した。その圧力上昇速度は約 4 kgf/cm<sup>2</sup>/s で、T-INVEST のそれの約 31% と小さいが、セレベスト CB や T-INVEST C & B の場合の約 20 倍もしくはそれ以上であった。

#### 2) 設定鋳造圧 3 kgf/cm<sup>2</sup> の場合

設定鋳造圧 3 kgf/cm<sup>2</sup> の圧力一時間曲線を Fig. 3 に示す。設定鋳造圧 7 kgf/cm<sup>2</sup> と同様に、鋳造室の圧力の立ち上がりは、キャストボタンを押してから約 0.4 s 後に始まり、約 0.6 s では約 2 kgf/cm<sup>2</sup> に達した。この場合の圧力上昇速度は約 9 kgf/cm<sup>2</sup>/s であり、これは設定鋳造圧 7 kgf/cm<sup>2</sup> の場合の半分であった。また、設定鋳造圧に達するまでの時間は、鋳造



**Fig. 3** Pressure change in the chamber and the cavity at a preset casting pressure of 3 kgf/cm<sup>2</sup>

The thin line shows the pressure change in the chamber, while the thick lines show pressure changes in the cavities. a : T-INVEST, b : Titavest CB, c : Selevest CB, d : T-INVEST C & B.

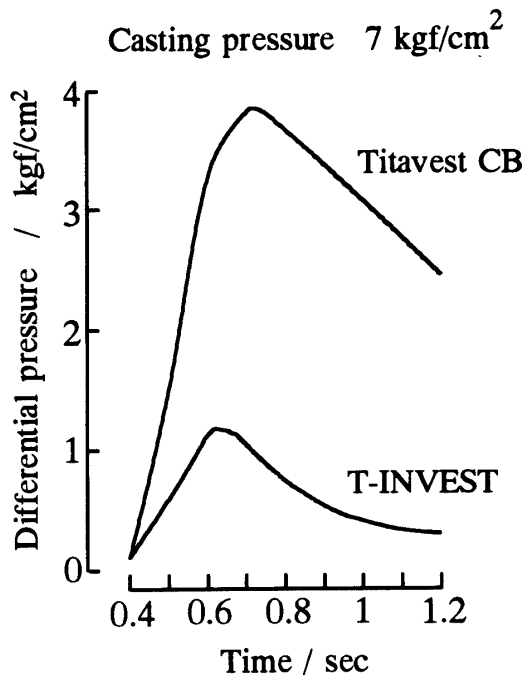


Fig. 4 Differential pressure curves at a preset casting pressure of  $7 \text{ kgf/cm}^2$ . The differential pressure is the difference between the chamber pressure and the cavity pressure.

圧  $7 \text{ kgf/cm}^2$  の場合と同じ 11~12 s であった。

T-インベストは、設定鋳造圧  $7 \text{ kgf/cm}^2$  の場合と同じように、圧力の立ち上がりが速く、圧力上昇速度は約  $5 \text{ kgf/cm}^2/\text{s}$  であった。これは設定鋳造圧  $7 \text{ kgf/cm}^2$  の場合の約 38% であった。また、チタベスト CB のそれは約  $1 \text{ kgf/cm}^2/\text{s}$  であり、設定鋳造圧  $7 \text{ kgf/cm}^2$  の場合の約 25% であった。

ところが、セレベスト CB と T-インベスト C & B の圧力上昇速度は、設定鋳造圧  $7 \text{ kgf/cm}^2$  の場合の値よりそれほど大きく低下しなかった。

## 2. 圧力差

鋳造室と鋳型空洞との圧力差は、溶湯に作用する正味の圧力で、鋳込みの駆動力である。そこで、チタベスト CB と T-インベストについて、この圧力差の時間的变化を計算し、設定鋳造圧  $7 \text{ kgf/cm}^2$  と  $3 \text{ kgf/cm}^2$  の場合をそれぞれ Fig. 4, 5 に示す。

設定鋳造圧  $7 \text{ kgf/cm}^2$  におけるチタベスト CB の圧力差は、キャストボタンを押してから約 0.7 s で最大値約  $3.8 \text{ kgf/cm}^2$  を示した。設定鋳造圧を  $3 \text{ kgf/cm}^2$  に下げるとき、最大に達する時間は 0.8 s とやや長くなり、圧力差の最大値は約  $2.1 \text{ kgf/cm}^2$  と約 55% 低下了。

これに対して、T-インベストの圧力差の変化は特異であった。つまり、いずれの設定鋳造圧においても、最大圧力差に達する時間と大きさはほとんど変わらず、それぞれ約 0.6 s と約  $1.2 \text{ kgf/cm}^2$  であった。

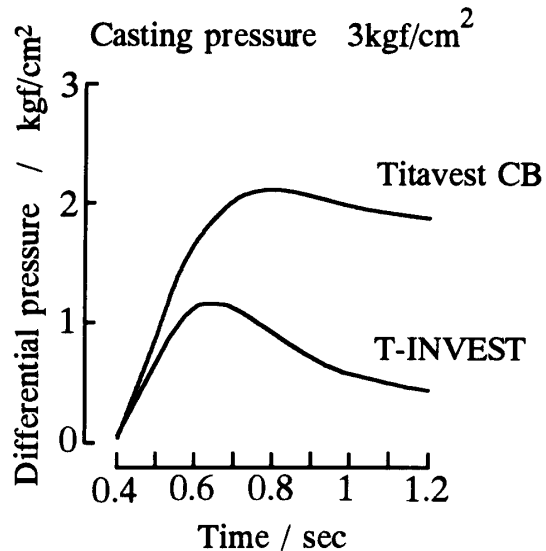


Fig. 5 Differential pressure curves at a preset casting pressure of  $3 \text{ kgf/cm}^2$ . The differential pressure is the difference between the chamber pressure and the cavity pressure.

これは、3 回繰り返し測定したが同じ結果であった。

Fig. 4, 5 に示さなかったセレベスト CB と T-インベスト C & B の圧力差の変化は、鋳造室の圧力上昇曲線に近似する。なぜならば、Fig. 2, 3 に示したように、鋳型空洞の圧力上昇が非常に小さいからである。

いずれの設定鋳造圧においても、圧力差の立ち上がり速度と最大圧力差は、T-インベスト C & B が最大で、T-インベストが最小である。チタベスト CB はこの中間に相当し、セレベスト CB は T-インベスト C & B に近い。

## 考 察

### 1. 圧力測定装置の特性

鋳型空洞の圧力上昇挙動に影響する因子は、鋳型の通気度や鋳型厚さのほかに、鋳型空洞、つまりパターンの体積と表面積が考えられる。井田<sup>11)</sup>によれば、臨床的なパターンの体積は単純クラウンで  $0.131 \text{ cm}^3$ 、ブリッジで  $0.418 \text{ cm}^3$ 、全部床で  $1.017 \text{ cm}^3$  であり、体積/表面積の値は、単純クラウンで 0.4、ブリッジで 0.76、全部床で 0.2 である。本実験で用いた装置では、鋳型空洞の体積がパターンの体積に相当し、 $6.51 \text{ cm}^3$  であり、試料の実断面積  $1.54 \text{ cm}^2$  が表面積に相当する。この場合の体積/表面積は 4.23 であった。したがって、臨床的なパターンに比べると、体積で 6~50 倍大きい。また、体積/表面積で 10~20 倍大きいことから、表面積のわりに体積が過大である。

このように、試作した圧力測定装置は、臨床的な条件を完全に模することはできなかった。そのため、厳密

な評価においては、パターンの体積が一桁大きい場合の結果であることを考慮する必要がある。しかし、試料を通して一方向から侵入するガスの圧力上昇の速度を測定するこの単純な方法は、パターンの体積や表面積および試料の厚さなどの複雑な因子に影響されることなく、鋳型空洞の圧力上昇を測定できる特徴がある。また、得られたデータはチタン鋳造システムと埋没材の特性との関係を評価するに有効である。

## 2. 鋳造室の圧力上昇

鋳造室の圧力上昇曲線は、圧力測定装置を鋳造室扉に取り付けて測定した場合と、鋳造室内に置いて測定した場合とで、全く同じであった。したがって、圧力測定装置の体積は鋳造室のそれと比べかなり小さいので、測定装置の体積が圧力上昇へ与える影響は無視できる。

いずれの設定鋳造圧においても、鋳造室の圧力は初期の急速な立ち上がりと、その後のゆるやかな上昇の二段階の変化を示した。最初の急な立ち上がりは、鋳造機に備えられた容量約 $5,000\text{ cm}^3$ のタンクから供給されるガスによるものである。このタンクは鋳造室の容積のほぼ2倍で、タンクから鋳造室に放出されたガスはほぼ $3/2$ 倍に膨張するため、鋳造室の圧力は設定鋳造圧のほぼ $2/3$ までは急激に上昇することになる。その後のゆっくりした圧力上昇は、ボンベからのガスの供給による。また、いずれの設定鋳造圧の場合も、圧力が立ち上がり始めるまでの時間は約0.4sであり、設定鋳造圧に到達するまでの時間は11~12sであった。このことから、鋳造室へのガスの導入のタイミングおよびその流量は鋳造機側でコントロールされていると思われる。

## 3. 鋳型空洞の圧力上昇

設定鋳造圧が $7\text{ kgf/cm}^2$ の場合、鋳型空洞の圧力上昇速度はT-インベストを1とすると、チタベストCBが約0.3、セレベストCBが約0.02である。都賀谷ら<sup>10)</sup>による報告によれば鋳型の通気度は、実験に供した埋没材のうち、T-インベストが最も大きく、チタベストCBとセレベストCBはそれぞれ、T-インベストのおよそ0.2倍および0.04倍であった。両者の比較から、圧力上昇速度と通気度のデータとは、定性的にはもちろん、定量的にもかなり良好な対応がみられた。

本実験では、室温の試料を用いたが、実際の鋳造では高温の鋳型に鋳込む場合もある。チタン鋳造用埋没材の高温における通気度は報告されていないが、一般的な鋳造に使用されている石こう系とリン酸塩系埋没材については、空気の通気度が室温の場合と比べ2~3倍大きくなることが報告されている<sup>12)</sup>。これは、埋没材の耐火材であるシリカの変態点で通気度が大きくなることから、これにはシリカの変態が関係すると考え

られている。これから推測すると、シリカ含有のチタン鋳造用埋没材の場合は、高温での圧力上昇速度は室温と比べ大きくなると思われる。

一方、アルミナ質レンガやマグネシアレンガなどの耐火レンガの窒素の通気度は、温度上昇に伴いガスの粘性が増加するため、通気度は急激に減少する<sup>13)</sup>。アルゴンの粘性は、約 $800^\circ\text{C}$ では室温時の2.7倍になる<sup>14)</sup>。窒素もこれと同じである。したがって、非シリカ系埋没材の鋳型は、高温で通気度は減少すると思われる。測定した埋没材のうち、T-インベスト C & Bは不明であるが、それ以外の埋没材はシリカを含まない。したがって、高温での圧力上昇速度はFig. 2, 3で得られた値より小さくなると推測される。

## 4. 圧力差と鋳造性

渡辺ら<sup>2)</sup>は、鋳型空洞へのチタン溶湯の充満タイプについて、新たにW型を提案した。このW型充満では、鋳込みの駆動力が鋳造性を大きく左右する。

圧力鋳造では一般に、鋳造室の圧力と鋳型空洞の圧力との差が、溶湯に作用する正味の圧力で、鋳込みの駆動力である。鋳込み初期におけるこの圧力差の大きさとその持続時間が鋳造性に大きく影響すると言われている<sup>15)</sup>。したがって、一室型加圧鋳造機の場合は、鋳型を通して侵入したガスによって鋳型空洞の圧力が高まると、いわゆる背圧が高くなり、鋳込みの駆動力が低下する。その結果、鋳込み不良の鋳造体ができる可能性が高い。

Fig. 4, 5によれば、T-インベストの圧力差は、チタベストCBのそれと比べかなり小さい。また、圧力差の上昇速度はチタベストCBのほうが大きい。

通気度が大きいT-インベストの場合は、設定鋳造圧を $7\text{ kgf/cm}^2$ から $3\text{ kgf/cm}^2$ に低くしても、圧力差が最大になるまでの時間はほぼ同じで、最大圧力差の値も小さくならなかった。また、設定鋳造圧が高いと、圧力差は最大に達した後は急速に低下した。

このことは、設定鋳造圧がメーカーの推奨する値の約半分であっても、圧力差は十分に確保されることを示している。また、設定鋳造圧が低いほうが、圧力差の持続性の点では有利であることも示している。

このように通気度が大きい埋没材では、設定鋳造圧を大きくしても圧力差は大きくならない。大きい設定鋳造圧ほど大きい駆動力が生じるわけではない。期待に反して、十分な圧力差が得られない可能性さえある。なぜなら、既に述べたように、本実験の鋳型空洞の体積は臨床的パターンに比べておよそ一桁大きい。つまり、臨床的パターンでの圧力上昇速度は本実験で得られた値よりさらに大きいと考えられる。したがって、圧力差の大きさはさらに小さくなると考えるからである。

T-インベストの約0.2倍の通気度であるチタベス

トCBは、両設定铸造圧においても、T-インベストに比べ圧力差の立ち上がり速度と最大圧力差は大きい。

さらに、セレベストCBやT-インベストC&Bなど通気度のかなり小さい埋没材では、圧力差の上昇曲線は铸造室内の圧力上昇曲線に近似し、圧力差の上昇速度と圧力差の最大値はさらに大きくなる。したがって、これら通気度の小さい埋没材を用いると、铸造時の溶湯に十分大きな铸造圧が作用するので、铸造体に铸込み不足は生じにくいと考えられる。

ただ、圧力差が大きい場合、铸込み時に発生する「吸い込み渦」による内部欠陥が生じやすい。これについて次節で述べる。

### 5. 铸型空洞に侵入したガスと铸造欠陥

ガスが铸造型空洞に侵入する前に、溶湯が铸造型空洞を満たせば、ガスの空洞内への侵入は防げる。しかし、溶湯の流れは単純ではない。ガスが铸造型空洞に侵入した後、そこに凝固層が形成されると、ガスは逃げ場を失い、結果として铸造体内に閉じこめられて内部欠陥になる。比較的に厚い板状の铸造型空洞の場合に、この種の欠陥が発生しやすく、このようにして生じた大きな内部欠陥は、まれに铸造体表面に露出し、穴状の欠陥となることもある<sup>16)</sup>。この原因によると考えられる铸造欠陥の例を尾崎ら<sup>17)</sup>が報告している。

この種の铸造欠陥を少なくする対策のひとつは、通気度の小さい埋没材を使用することである。また、二次的には铸造壁を厚くすること、铸造圧を低めに設定することも有効である。铸造壁を厚くすることは、埋没材を多く使用するので、経済的ではない。むしろ、前節で述べたように、設定铸造圧を低くしたほうが効果的であろう。通気度の小さい埋没材の使用は、内部欠陥の発生が避けられるだけでなく、铸込み不足を防止する上でも重要である。

ただし、通気度の小さい埋没材の場合は、設定铸造圧を高くすると圧力差が大きくなり、「吸い込み渦」が発生して内部欠陥を作りやすくなる。吸い込み渦とは、铸造のクルシブルに落下した溶湯が渦を巻きながらスプレーに流れ込む際に、スプレーの中心に気柱が発生する現象である。これが内部欠陥の発生原因のひとつであると渡辺ら<sup>18,19)</sup>が指摘している。この気柱が大きく発達するとスプレーを通してガスが铸造型空洞へ吸い込まれる可能性が高く、これを原因とする欠陥が铸造体内に発生することになる。これを防止するひとつ的方法は、必要以上に設定铸造圧を高くしないことである。このことは一般に言われていること<sup>15)</sup>と反対である。

また、佐藤ら<sup>20)</sup>は、一室加压型铸造機の加压方法を改良して、铸造体の铸造欠陥を少なくする方法を報告している。それは、初期の設定铸造圧を1kgf/cm<sup>2</sup>

とし、圧力が作用してから0.2s後に7kgf/cm<sup>2</sup>の後加压を作用させる二段階加压方法で、この加压方法により铸造体に生じる欠陥が減少したと結論している。この場合でも初期の設定铸造圧と後加压の大きさが適切かどうか検討する余地はある。

以上のことから、一室加压型铸造機を用いて铸造する際には、圧力上昇の遅い、つまり通気度が小さい埋没材を使用することである。通気度が大きい埋没材を使用すると、設定铸造圧が高い場合は铸造型空洞へのガスの侵入が早く、铸造欠陥の発生につながる可能性が高い。

### 結論

一室加压型铸造機について、铸造室内と铸造型空洞の圧力挙動を測定し、圧力の立ち上がり速度と铸造の駆動力である圧力差の変化を求めた。これと铸造欠陥とを関連づけて考察し、以下の結論を得た。

- 埋没材の通気度が大きいほど、設定铸造圧が高いほど、铸造型空洞へ侵入するガス量が多くなる。このため、铸込みの駆動力である大きな圧力差は得られにくく、铸込み不良になりやすい。
- 通気度の大きい埋没材を使用すると、铸込み完了前に铸造型空洞へ侵入したガスは、铸造体内部に閉じこめられ铸造欠陥を生じやすい。
- したがって、一室加压型铸造機では通気度の小さい埋没材を使用することが望ましい。
- 通気度が大きい埋没材の場合、铸造性の観点から、铸造圧を高く設定すべきでないことが示唆された。一方、通気度が小さい埋没材の場合も、「吸い込み渦」による内部欠陥の発生を抑制するために、铸造圧を高く設定すべきでないと考えられる。

### 謝辞

実験の遂行にご協力いただいた(株)ジーシーSP部チタン铸造担当の伊藤保太郎氏に御礼申し上げます。また、文献等の整理にご協力いただいた本講座の本間ヒロ技官に御礼申し上げます。

### 文献

- 井田一夫、三浦維四編、浜中人土：チタンの歯科利用 第III章 チタンの歯科铸造技術 4. チタン用铸造機、クインテッセンス、1988、43-109
- 渡辺孝一、大川成剛、宮川修、中野周二、塩川延洋ほか：歯科精密铸造における「標識元素溶解法」を用いたチタン湯流れの研究 2. 板状铸造型における湯流れと欠陥の関係、歯材器、10(1), 77-96, 1991
- 渡辺孝一、大川成剛、宮川修、中野周二、小林正義：一室加压型チタン铸造機に関する研究 第1報 圧力の作用原理と铸込み特性との関係、歯材器、14(4), 378-386, 1995
- 都賀谷紀宏、後藤秀明、鈴木政司、井田一夫、藪上雅彦：チタン铸造体の铸造欠陥に関する研究、歯材器、6(抄録)

集, 特 9), 123, 1987

- 5) 大川成剛, 渡辺孝一, 中野周二, 本間ヒロ, 宮川 修ほか:チタン铸造用埋没材をテストする, *DE*, 111, 21-32, 1994
- 6) 大川成剛, 渡辺孝一, 宮川 修, 中野周二, 本間ヒロほか:市販チタン用埋没材と铸造体の表層に形成される反応層および铸造体の機械的性質について, *歯産学誌*, 6(6), 55-64, 1993
- 7) 黒岩昭弘, 米田隆紀, 鷹股哲也, 和田賢一, 橋本弘一:チタン铸造に関する研究(その4)通気性が铸造率に及ぼす影響について, *補綴誌*, 37, (抄録集, 特 89), 228, 1993
- 8) 井上義久:铸造の通気性がチタン铸造に及ぼす影響, *歯材器*, 14(3), 302-312, 1995
- 9) 日本铸造物協会編:铸造物便覧改訂3版, 丸善, 1973, 1966
- 10) 都賀谷紀宏, 堤 定美, 谷 嘉明, 蔽上雅彦, 広島 開ほか:市販チタン用铸造型材の通気性, 第7回歯科チタン研究会講演抄録集, 11-12, 1994
- 11) 井田一夫:歯科铸造の話, クインテッセンス, 195-200, 1987
- 12) 竹内正敏, 森脇 豊, 都賀谷紀宏, 堤 定美, 井田一夫:埋没材の通気性に関する研究(第3報)埋没材の高温時通気性と熱膨張率について, *歯材器*, 3(1), 44-55, 1984

- 13) 窯業協会編:窯業工学ハンドブック新版, 技報堂, 1340, 1966
- 14) 日本化学会編:化学便覧基礎編改訂3版, 丸善, II-38-39, 1984
- 15) 長谷川二郎, 森 博史, 桧田屋慎一:歯科技工教本 歯科铸造学, 医歯薬出版, 1990, 79-81
- 16) 渡辺孝一, 大川成剛, 金谷 貢, 中野周二, 宮川 修ほか:一室加圧型チタン铸造機に関する研究 第2報 鑄型通気性が铸造欠陥に及ぼす影響, *歯材器*, 14(6), 668-676, 1995
- 17) 尾崎康子, 草刈 玄, 宮川 修:チタン铸造冠の内部欠陥について, *補綴誌*, 40(4), 450-460, 1996
- 18) 渡辺孝一, 大川成剛, 金谷 貢, 中野周二, 宮川 修ほか:クラウン・ブリッジのチタン铸造におけるランナーバーの役割, 第11回歯科チタン研究会講演抄録集, 24-25, 1998
- 19) 渡辺孝一, 大川成剛, 金谷 貢, 中野周二, 宮川 修ほか:加圧型チタン铸造機を使う際の内部欠陥を減少する铸造方案, *歯材器*, 17(抄録集, 特 31), 93, 1998
- 20) 佐藤秀樹, 奥田禮一:チタン铸造における加圧法と铸造巣発生, 第7回歯科チタン研究会講演抄録集, 19-20, 1994